

Ф.В. Новиков, А.А. Якимов

ЭЛЕМЕНТЫ МЕХАНИКИ ПРЕРЫВИСТОГО ВЫСОКОПРОИЗВОДИТЕЛЬНОГО
АЛМАЗНОГО ШЛИФОВАНИЯ

(Одесский политехнический институт)

Высокие технико-экономические показатели прерывистого шлифования обусловлены правильным выбором соотношения длин впадин и рабочего выступа круга [1].

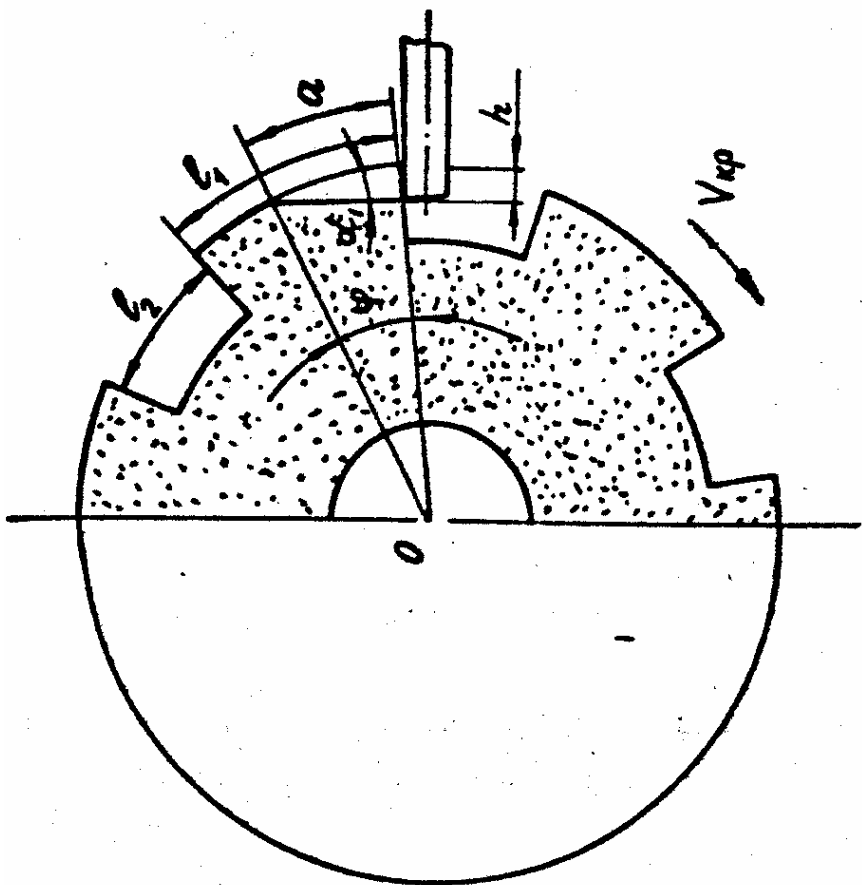
При прерывистом шлифовании по мере износа круга происходит самооформление его макропрофиля. На рабочих выступах образуются фронтальные поверхности, расположенные под некоторым углом атаки к плоскости резания. Схема съема припуска в таких условиях отлична от схемы обычного шлифования. Для ее анализа рассмотрим шлифование прямоугольного образца, движущегося по нормали к рабочей поверхности круга (рисунок, 2). Применительно к шлифованию сплошным кругом максимальная толщина среза опишется известной зависимостью [2]

$$H_{max} = \sqrt[3]{\frac{600 \pi \bar{x}^3 \cdot V_{заг}'}{\tau \cdot V_{kp}}} , \quad (1)$$

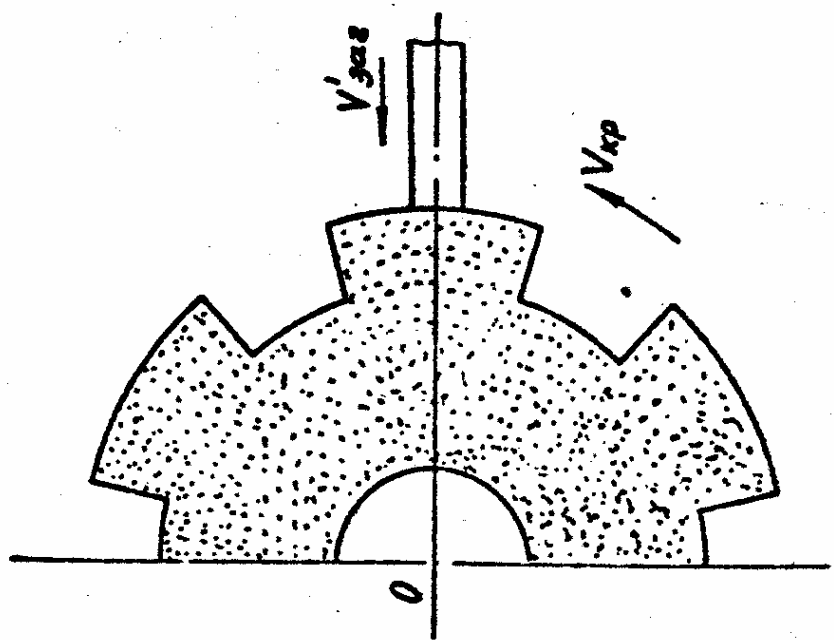
где \bar{x} - зернистость круга, м; τ - объемная концентрация круга, %; $V_{заг}'$ - радиальная скорость внедрения образца в рабочую поверхность круга, м/с; V_{kp} - скорость круга, м/с.

и наименование каждого ядра (α) и радиуса r ядра определяется по формуле

R



D



Для прерывистого шлифования структура зависимости (I) остается прежней, изменится только параметр $V'_{заг}$. За период погружения впадины прерывистого круга образец переместится в радиальном направлении на величину h (см. рис., б). Набегающий припуск снимут зерна, расположенные на передней кромке рабочего выступа.

Вследствие чрезмерной перегрузки эти зерна интенсивно выкрашивается из связки, и на рабочем выступе круга образуется фронтальная поверхность протяженностью α , расположенная под углом атаки α к плоскости резания.

За период прохождения участка α радиальная скорость внедрения образца в рабочую поверхность круга $V'_{заг}$ возрастает на величину $V_{kp} \cdot \operatorname{tg} \alpha$:

$$V''_{заг} = V'_{заг} + V_{kp} \cdot \operatorname{tg} \alpha, \quad (2)$$

где $\operatorname{tg} \alpha = \frac{h}{\alpha}$.

Набегающий припуск h пропорционален длине впадины ℓ_2 , тогда $h = V'_{заг} \cdot \tau$, где $\tau = \frac{\ell_2}{V_{kp}}$ — время погружения образца во впадину круга, с. Окончательно

$$h = \ell_2 \cdot \frac{V'_{заг}}{V_{kp}}, \quad (3)$$

$$V''_{заг} = V'_{заг} \cdot \left(1 + \frac{\ell_2}{\alpha} \right). \quad (4)$$

С учетом (3) и (4) параметр

$$H_{max} = \sqrt[3]{\frac{600\pi \cdot \bar{x}^3}{m} \cdot \frac{V'_{заг}}{V_{kp}} \cdot \left(1 + \frac{\ell_2}{\alpha} \right)}. \quad (5)$$

Зависимость (5) отличается от (I) множителем $\left(1 + \frac{\ell_2}{\alpha} \right)$,

который может изменяться в значительных пределах. При шлифовании сплошным кругом, когда $\ell_2 = 0$, эта зависимость принимает вид (I). В остальных случаях H_{max} при прерывистом шлифовании всегда выше, чем при обычном шлифовании. Следует отметить, что величина H_{max} при прерывистом шлифовании получена для участка рабочего выступа, охваченного углом атаки α . Оставшаяся часть рабочего выступа будет работать в тех же условиях, что и при обычном шлифовании.

Из зависимости (5) следует, что с увеличением протяженности фронтального участка α множитель $(1 + \frac{L_2}{\alpha})$ уменьшается и снижает H_{max} . Наименьшее значение H_{max} достигается для случая $\alpha = L_1$, т.е. для установившейся формы профиля рабочего выступа круга, когда фронтальный участок охватывает весь рабочий выступ круга. В этом случае зависимость (5) преобразуется:

$$H_{max} = \sqrt[3]{\frac{600\pi\bar{x}^3}{m} \cdot \frac{V'_{заг}}{V_{kp}} \cdot \left(1 + \frac{L_2}{L_1}\right)}. \quad (6)$$

Как следует из (6), параметр H_{max} достаточно чувствителен к изменению соотношения $\frac{L_2}{L_1}$:

L_2/L_1	0	1,0	2,0	5,0	10,0
$\left(1 + \frac{L_2}{L_1}\right)^{\frac{1}{3}}$	1,0	1,26	1,45	1,82	2,23

По длине рабочего выступа круга при неустановившемся шлифовании съем припуска осуществляется неравномерно. Фронтальный участок выступа круга за время τ , соответствующее повороту круга на угол φ , производит съем материала

$$h_1 = V''_{заг} \cdot \tau = \alpha \frac{V'_{заг}}{V_{kp}} \left(1 + \frac{L_2}{\alpha}\right).$$

Оставшаяся часть рабочего выступа круга срезает припуск величиной

$$h_2 = V'_{заг} \cdot \frac{(L_1 - \alpha)}{V_{kp}}.$$

Соотношение

$$\frac{h_1}{h_2} = \frac{(L_2 + \alpha)}{(L_1 - \alpha)}. \quad (7)$$

Следя (7) при $L_1 = L_2$, с увеличением α соотношение h_1/h_2 интенсивно возрастает:

α/L_1	0,1	0,3	0,5	0,7	0,9
h_1/h_2	1,22	1,86	3	6	19

Это свидетельствует о существенной роли угла атаки α в формировании закономерностей прерывистого шлифования.

Наиболее благоприятным с точки зрения силовой нагруженности зерен является установившийся режим шлифования ($\alpha \approx \ell_1$), обеспечивающий наименьшее значение H_{max} и равномерный износ всего рабочего выступа круга.

Снижение температуры резания достигается выбором оптимального соотношения длин впадины и выступа круга, исключающего тепловое насыщение поверхностных слоев заготовки. Очевидно, чем больше это соотношение, тем продолжительнее разрыв между интервалами шлифования, лучше условия охлаждения заготовки и значительнее эффект обработки. Между тем, такая закономерность будет справедлива не всегда, так как с уменьшением длины рабочего выступа вследствие снижения фактической площади рабочей поверхности круга сила резания будет возрастать, вызывая рост теплового потока и соответственно температуры шлифования. Следовательно, при изменении длины рабочего выступа круга температура шлифования будет изменяться по экстремальной зависимости, обусловленной противоположным влиянием механического и нестационарного теплового факторов. Для проверки этого положения проведем анализ изменения тангенциальной составляющей силы резания P_x в зависимости от длины рабочего выступа круга и других условий обработки. При обычном шлифовании [3]

$$P_x = S_{MGR} \cdot G, \quad (8)$$

где S_{MGR} - мгновенная площадь среза всеми работающими зернами; G - условное напряжение шлифования (энергоемкость шлифования), $\text{Дж}/\text{м}^3$.

$$S_{MGR} = \frac{Q}{V_{kp}}, \quad G = \frac{A}{H''_{max}}.$$

Здесь $Q = S \cdot V'_{заг}$ - производительность шлифования, $\text{м}^3/\text{с}$; S - площадь поперечного сечения образца, м^2 ; A - параметр, характеризующий прочностные свойства обрабатываемого материала (определяется расчетным путем); $\gamma = 0,5...1,0$.

Для прерывистого шлифования в (8) вместо $V'_{заг}$ следует принять значение $V''_{заг} = V'_{заг} \cdot \left(1 + \frac{\ell_2}{\ell_1}\right)$, так как в момент контакта круга с заготовкой рабочий выступ срезает дополнительную часть набегающего припуска, оставшегося от погружения образца во впадину круга на величину h (рис. I, б). Иными словами, рабочий выступ круга должен срезать набегающий припуск за "себя" и за прилегающую к нему впадину.

Условное напряжение шлифования σ получим, используя зависимость (6):

$$\sigma = A \left[\frac{m}{600\pi \bar{x}^3} \cdot \frac{V_{kp}}{V'_{заг}} \cdot \frac{1}{(1 + \frac{\ell_2}{\ell_1})} \right]^{\frac{2}{3}}. \quad (9)$$

Из (9) следует, что прерывистое шлифование всегда менее энергоемко, чем сплошное. Причем, с уменьшением ℓ_1 энергоемкость шлифования снижается вследствие увеличения H_{max} .

С учетом (9) тангенциальная составляющая силы резания

$$P_z = S \cdot A \left(\frac{V'_{заг}}{V_{kp}} \right)^{\frac{1-2}{3}} \cdot \left(1 + \frac{\ell_2}{\ell_1} \right)^{\frac{1-2}{3}} \cdot \left(\frac{m}{600\pi \bar{x}^3} \right)^{\frac{2}{3}}. \quad (10)$$

Как видим, несмотря на уменьшение σ при прерывистом шлифовании, сила резания P_z для него выше. Это обусловлено тем, что интенсивность роста $S_{MГН}$ с увеличением ℓ_2 , в (8) выше, чем интенсивность снижения G . Таким образом, с уменьшением длины рабочего выступа круга сила резания P_z возрастает, что подтверждает положение об экстремальном характере изменения температурной зависимости. Для определения оптимальной длины рабочего выступа круга необходимо решить нестационарную задачу теплофизики, получить аналитическую зависимость для температуры шлифования и выразить в ней тепловой поток через силу резания.

БИБЛИОГРАФИЧЕСКИЙ СПИСОК

1. Якимов А.В. Оптимизация процесса шлифования. М.: Машиностроение, 1975. 175 с.
2. Новиков Ф.В. Механика круглого алмазного шлифования изделий с прерывистыми поверхностями и пути ее оптимального управления: Дис. канд.техн.наук. Харьков, 1984. 276 с.
3. Раб А.Ф., Новиков Ф.В. Точность формы при круглом продольном шлифовании изделий с прерывистыми поверхностями // Резание и инструмент. 1982. - Вып. 27. С. 35-43.